

| | | |
|---------------|---------------------|---------------------|
| <i>Revize</i> | <i>Popis revize</i> | <i>Datum revize</i> |
|---------------|---------------------|---------------------|

| | |
|--|---|
|  | AQUA PROCON s.r.o. Projektová a inženýrská společnost Palackého tř. 12, 612 00 Brno tel.: +420 541 426 011 E-mail: info@aquaprocon.cz www.aquaprocon.cz |
| <i>Vedoucí projektu</i> | Ing. Petr Baránek |
| <i>Vedoucí dílčího projektu</i> | |
| <i>Zodpovědný projektant</i> | Ing. Jan Kříž |
| <i>Vypracoval</i> | Ing. Jan Kříž |
| <i>Kontroloval</i> | |

| | |
|-------------------|-------------------|
| <i>Investor</i> | VaK Břeclav, a.s. |
| <i>Objednatel</i> | VaK Břeclav, a.s. |

| | | | | | | | | |
|---------------|-------|----------------|--------|----|--------------|---------|------------------------|-------------------|
| <i>Formát</i> | 46×A4 | <i>Měřítko</i> | Stupeň | ZD | <i>Datum</i> | 11/2021 | <i>Zakázkové číslo</i> | 1576421-18 |
|---------------|-------|----------------|--------|----|--------------|---------|------------------------|-------------------|

| | | | |
|------------------------------|--------------------------|---------------|-----------------|
| <i>Projekt</i> | VODOJEM POUZDŘANY | | <i>Souprava</i> |
| INŽENÝRSKOGEOLOGICKÝ PRŮZKUM | | | |
| <i>Příloha</i> | <i>Číslo přílohy</i> | <i>Revize</i> | |
| | B.2 | 0 | |

VAK BŘECLAV, A.S.

V D J P O U Z D Ě R A N Y

Zpráva o inženýrskogeologickém průzkumu

PROJEKTANT:

Aqua Procon s.r.o.
Palackého 12, Brno 61200

ZPRACOVATEL PRŮZKUMU:

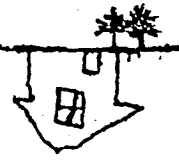
symbiotechnika s.r.o.
Na Zámyšli 1, Praha 5, 15000

KVĚTEN 2021

symbioteknika s.r.o.

geologické práce

IČ: 25070959



V D J P O U Z D Ě R A N Y

Zpráva o inženýrskogeologickém průzkumu

Vypracoval : *Ing. Jan Kříž*

- odpovědný řešitel geologických prací oprávněný projektovat, provádět a vyhodnocovat geologické práce v oboru inženýrská geologie z rozhodnutí MŽP ČR poř. č. 1498/2001

tel 777 212 555 ● E-mail : symbioteknika@gmail.com

- Obsah :
1. Úvod
 2. Geologické a hydrogeologické poměry
 3. Petrografické popisy vrtaných sond
 4. Geotechnické vlastnosti zemin a hornin
 5. Úložné poměry na lokalitě stavby
 6. Výskyt podzemní vody
 7. Stabilita území
 8. Založení objektu
 9. Pažení stavební jámy
 10. Zatřídění zemních prací a provádění pilot pro rozpočtovou dokumentaci

- Přílohy :
- I. Geologická mapa v měr. 1 : 50 000
 - II. Hydrogeologická mapa v měr. 1 : 50 000
 - III. Situace vrtaných sond v měr. 1 : 200
 - IV. Laboratorní rozbory zemin

1. Úvod

Zpráva je součástí projektové dokumentace. Byla zpracována na základě, terénních průzkumných prací, rekognoskace terénu a rešerše dostupné archivní geologické dokumentace zájmového území. Archivní excerpte byla provedena v Geofondu Praha. Využity byly následující posudky :

Kabát : *Pouzdřany. Diatomit. Etapa průzkumu: podrobná*, Geoindustria
Stříbro, 1989

ÚÚG Praha : *Geologická mapa ČR, list 34 - 12, Pohořelice (měř. 1 : 50 000)*, 1988

ÚÚG Praha : *Hydrogeologická mapa ČR, list 34 - 12, Pohořelice (měř. 1 : 50 000)*,
1990

Vlastní **terénní průzkumné práce** spočívaly v provedení 3 vrtaných sond do hl. 9,00 - 12,00m , celkové metráže 33,00m (jádrové vrtání, pažené vrty). Sondy byly na místě popsány autorem zprávy (kap. 3.) a likvidovány záhozem. V **laboratoři** byly vyšetřeny vzorky zemin (příl. IV.). Výsledky jsou jsou součástí zprávy.

2. Geologické a hydrogeologické poměry

Z geomorfologického hlediska je zájmové území součástí podcelku Dyjsko-moravská pahorkatina, celku Dolnomoravský úval, patří do geomorfologického okrsku **Strachotínský kopeček**. Je to členitá pahorkatina flyšových struktur ždánické a pouzdřanské jednotky. Dnešní reliéf vznikl denudací méně odolných hornin. V kvartéru byl terén dotvářen především deflační a akumulační činností větru. V závětří kopců vznikly návěje spraší.

Navazující sníženina s plochým reliéfem měkkých tvarů náleží k celku Dyjsko-svratecký úval, tvoří morfologicky výrazný pruh nižšího reliéfu, zřetelně omezený vůči svému okolí. V morfologii povrchu se uplatňuje široká rovina **údolní nivy** toků **Svratky** a Šatavy a plošiny terasových stupňů. Území patří do podcelku **Dyjsko-svratecká niva**.

Předkvertérním podkladem na **údolních svazích** vyvýšeniny Pouzdřanského kopce, jsou horniny **paleogénu pouzdřanské jednotky**. Horniny **flyšového pásmu** jsou zastoupeny **pouzdřanským** a **křepickým souvrstvím**, reprezentované **uherčickými vrstvami**, **pouzdřanskými** a **boudeckými slínami**.

Z petrografického hlediska jsou zastoupeny vrstvy vápnitých **jílovců**, prachovitých jílovců, ojediněle s vložkami diatomitových břidlic, **pískovců**, slídnatých pískovců, **jílů** a **slínů**.

Neogenní sedimenty jsou zastoupeny vápnitými **jíly** (šlíry), s polohami vápnitých písků a štěrků (karpat) a neogenními klastiky, tvořenými **písky** a **štěrky**, se zpevněnými polohami **pískovců** a **slepenců** (spodní baden).

V širším zájmovém území jsou **jílovce** prachově písčité, písčité laminované (s poprašky a vložkami písků), vápnité, destičkovitě odlučné. **Pískovce** se vyznačují častou změnou mocnosti a velikostí zrna. Mají vývoj jemně až hrubě zrnitý, vápnitý, bývají v povrchových vrstvách polozpevněné a rozsypavé, místy pevné. Eluviální polohy se rozpadají na běložlutý a rezivý vápnitý a slídnatý písek.

Předkvartérní horniny jsou postiženy **zvětrávacími pochody** jejichž intenzita je závislá hlavně na petrografickém složení hornin. U pískovců je hloubka zvětrání relativně malá, jílovce jsou místy postiženy zvětráním intenzívnně. Ve svrchních partiích jsou zcela rozložené na zeminu. Intenzita zvětrání je podmíněna i vyskytujícími se **tektonickými poruchami**.

Nezpevněné sedimenty jsou vyvinuty ve facii pelitické až psamiticko-pelitické. Představovány jsou komplexem vrstevnatých vápnitých **prachovitých jílů** a písčitých jílů střídajících s polohami jemnozrnných **písků**.

V širším zájmovém území jsou popsány ve svažitém terénu svahové pohyby (sesuvy). Paleogenní jílovce s občasnými lavicemi pískovců jsou v povrchové zóně zvětralé na zeminy a v důsledku několika souběžných činitelů (tektonické porušení poloskalního podkladu, jílovité zvětrávání, podmáčení podzemní vodou, větší úklon reliéfu) jsou **náchylné ke svahové nestabilitě**. Flyšové souvrství obsahuje silně zvětralé (charakteru zemin) a zvodnělé polohy. Klimatické vlivy a antropogenní zásahy mohou vyvolat **rizika svahových pohybů**. V Geofondu Praha jsou v databázích svahových nestabilit popsány **potenciální** a **dočasně uklidněné sesovy** na svazích Dyjsko-moravské pahorkatiny. Tyto lokality se nachází mimo bezprostřední zájmové území.

Bázi **kvartéru** na **údolních svazích** tvoří většinou **deluviální prachovito-jílovité** až **jílovité hlíny**, vzniklé přemístěním terciérního materiálu. Terciérní povrch byl v pleistocénu rozrušován erozivní činností. Na části údolních svahů se vyskytují jílovité hlíny písčité, s příměsí **úlomků** podložních hornin, resp. **suťové**

polohy. Bázi kvartéru tvoří na svazích lokálně redeponovaná eluvia.

Část údolních svahů překrývají **spraše** a **sprašové hlíny**. Jsou to eolické sedimenty naváté v pleistocénu. Z velké části vznikly během posledního glaciálu (würm). Spraše jsou většinou okrově hnědé. Obsahují proměnlivou jílovitou a jemně písčitou příměs. Jsou vápnité (vysrážený CaCO_3). Byly ukládány větry převážně západních směrů a proto se s nimi v největších mocnostech setkáváme na východních svazích. Souvrství je místně tvořeno degradovanými sprašemi (sprašové hlíny). Tyto původně naváté sedimenty byly druhotně přemístěné svahovými pohyby a dešťovým ronem. Část svrchních zemin na údolních svazích, **prachovitých hlín**, **projílovaných**, **prachovito-jílovitých** a prachovito-písčitých, místy s příměsí klastického materiálu, je **deluviální** až **deluvioeolické** geneze.

Sníženina **Dyjsko-svratecké nivy** je vyplňena mohutnými komplexy faciálně proměnlivých sedimentů neogenního stáří. Pokryvné kvartérní útvary tvoří sedimenty fluviálního, na okraji nivy eolického původu. Předkvartérní podloží v zájmovém území je budováno většinou **neogenními** vápnitými a nevápnitými **prachovitými** a písčitými **jíly**, písčitými prachy (silty) a vápnitými **písky** a **štěrky**, se zpevněnými polohami (karpat, spodní baden).

Údolní niva je v zájmovém území široká až 1,5km. Je budována dvěma vzájemně značně odlišnými souvrstvími. Svrchní souvrství je tvořeno jemnými soudržnými sedimenty, v nichž převládají **jílovité** a **písčité hlíny** až silně **hlinité písky** (**povodňové hlíny**). Spodní část souvrství údolní nivy je složena ze štěrků s příměsí písků, **písčitých štěrků** a jemně až hrubě zrnitých **písků**. Toto souvrství je tvořeno sedimentární výplní meandrujícího koryta řeky Svatky. Na okraji údolní nivy a na pravobřežním údolním svahu jsou uloženy vrstvy **terasových** pleistocénních (riss) **písků** a **písčitých štěrků** (Ivaňská plošina).

Lokalita je součástí **hydrogeologického rajónu** č. 3230 - **Středomoravské Karpaty** - severní část. Území tvoří značně proměnlivé prostředí pro vsak, oběh a akumulaci podzemní vody. Oběh podzemní vody je charakterizován infiltrací atmosférických srážek. Dotace podzemní vody je převážně závislá na velikosti vsaku a intenzitě atmosférických srážek.

Větší nerovnosti terciérního povrchu jsou většinou zarovnány pokrývkou **spraší**, **sprašových** a **svahových hlín**. Spráše jsou pro vodu jen velmi omezeně propustné. Jejich vertikální propustnost, podmíněná existencí svislých kanálků a pórů, je větší než ve směru horizontálním. Povrchová voda stéká po svazích do údolí a jen částečně proniká kvartérním pokryvem na rozhraní s paleogenním, resp. neogenním podkladem.

Podzemní voda je vázaná na **údolních svazích** na bázi kvartéru nebo zvětralinové zóny předkvartérních hornin jen lokálně. Po nepropustných polohách podzemní voda stéká do nižších částí údolí. **Území údolních svahů** lze charakterizovat většinou jako chudé na podzemní vodu ve svrchních kvartérních vrstvách. Zvodnělé polohy jsou nesouvislé a vyskytují se lokálně v závislosti na výskytu propustnějších vrstev a úrovni a morfologii nepropustných podložních vrstev.

Podzemní voda hlubšího oběhu je vázána na **terciérní hydrogeologický kolektor**. Pelitické souvrství (eluviální polohy) je nepatrнě propustné a vytváří izolátory ve větších hloubkách zvodněným psamitickým polohám (flyšový vývoj) s napjatou hladinou podzemní vody. V uvedeném souvrství nelze uvažovat o souvislé hladině podzemní vody. Zvodnění hornin závisí na možnosti jejich dotace infiltrovanou povrchovou vodou, zejména vzhledem k mocnosti a vývoji nadložních izolátorů. Nejhļubší horizont podzemní vody je v **tektonicky porušených skalních horninách** a má **puklinový charakter**.

Zvětraliny jílovčů (izolanty) neumožňují živější oběh podzemních vod. V souladu s faciálními změnami a přechody, především ve vertikálním směru, mohou být zvodnělé horizonty místy artésky napjaty a nepravidelně vyvinuty. Propustné a zvodněné mohou být místy polohy **zvětralinové zóny** (pásma průlinové porozity pískovců).

Území **soutokové údolní nivy Svatavy** a **Šatavy** náleží podle hydrogeologické rajonizace v základní vrstvě do **hydrogeologického rajonu 2241 - Dyjsko-svratecký úval**. Souvrství **neogenních jílů** je nepatrнě propustné až prakticky nepropustné a vytváří **bazální izolátor** nadložních zvodněných fluviálních sedimentů. Hlubší polohy terciérních pánevních sedimentů vytváří komplex

nepravidelně se střídajících izolátorů (jíly) s průlinově propustnými kolektory **písků**, resp. drobných štěrků.

Svrchní polohy v zájmovém území patří do hydrogeologického rajónu 1643 - **Kvartér Svatky**. Základní hydrogeologický význam má údolní **niva řeky Svatky**, s mrtvými rameny, kanály a přítokem Šatava. Území v **údolní nivě** je charakteristické **souvislou hladinou podzemní vody**. **Oběh podzemní vody** je zde vázán na významné polohy **fluviálních nesoudržných sedimentů** (písků a štěrkopísků). Tato souvrství jsou zcela nasycena vodou, která je zpravidla v hydrologické komunikaci s **vodou povrchovou**.

Štěrkopísčité uloženiny zde mají funkci regulátoru povrchových vod. V době nízkých vodních stavů jsou **drénovány** a nadlepší vodnost toku a naopak v době vysokých vodních stavů dochází k břehové **infiltraci** z toku a tím obohacování zvodně v náplavech. Hladina podzemní vody v určitém časovém odstupu reaguje na stav ve vodotečích, který kolísá během roku v závislosti na klimatických podmínkách. Ve zvodnělých vrstvách dochází k proudění podzemní vody převážně směrem ke korytu Svatky.

3. Petrografické popisy vrtaných sond

S 1 (241,37)

- 0,00 - 2,50m tmavě hnědá narezivělá prachovitá hlína, projílovaná, vápnitá, téměř pevná, F6, 3
- 2,50 - 4,00 tmavě rezivě hnědá prachovito-jílovitá hlína, téměř pevná, s okrovými a rezivými prachovitými poprášky a oj. drobnými krystalky sádrovce, F6, 3
- 4,00 - 6,00 tmavě hnědý prachovitý jíl, pevný, s okrovými prachovitými poprášky na vrstevních plochách, s hnízdy krystalků sádrovce (vel. krystalů až 1cm), místy vápnitý, F7, 3
- 6,00 - 6,50 rezivě hnědý s okrovými a rezivými šmouhami prachovitý jíl, pevný, F7, 3 - 4
- 6,50 - 7,00 tmavě hnědý prachovitý jíl, pevný, s okrovými prachovitými poprášky na vrstevních plochách, s hnízdy krystalků sádrovce (vel. krystalů až

| | |
|---------------|---|
| | 1cm), místy vápnitý, F6, 3 |
| 7,00 - 8,00 | rezivě hnědý načernalý prachovitý jíl, lepší než tuhý, s hnízdy krystalků sádrovce vel. až 1cm, F6, 3 |
| 8,00 - 10,00 | černý prachovitý jíl, tvrdý (eluvium jílovce), místy s drobnými krystalky sádrovce, F7, 4 |
| 10,00 - 11,70 | černošedý prachovitý jíl, tvrdý, F8, 4 |
| 11,70 - 12,00 | černošedý prachovitý jíl, tvrdý, s pevnými odolnými úlomky jílovce do 3cm, F8, 4 bez vody |

S 2 (241,54)

| | |
|---------------|--|
| 0,00 - 0,60m | rezivě okrová nahnědlá prachovitá hlína, projílovaná, slabě písčitá, slabě vápnitá, tuhá, F6, 3 |
| 0,60 - 3,00 | tmavě hnědá světle žíhaná prachovitá hlína, projílovaná, pevná, silně vápnitá na vrstevních plochách, F6, 3 |
| 3,00 - 4,60 | rezivě hnědá prachovito-jílovitá hlína, tuhá až pevná, s okrovými prachovitými poprášky na vrstevních plochách, F6, 3 |
| 4,60 - 5,20 | hnědá slabě narezlá prachovitojílovitá hlína, tuhá, slabě vápnitá, F6, 3 |
| 5,20 - 6,00 | tmavě hnědá narezlá načernalá prachovito-jílovitá hlína, tuhá až pevná, F6, 3 |
| 6,00 - 7,20 | rezivě hnědá prachovito-jílovitá hlína, jemně písčitá, lepší než tuhá, místy s písčitějšími polohami a oj. drobnými úlomky podložních hornin do 1cm, F6, 3 |
| 7,20 - 8,50 | rezivě hnědočerný prachovitý jíl, pevný, s oj. drobnými úlomky podložních hornin, F7, 3 |
| 8,50 - 9,40 | černohnědý narezlý prachovitý jíl (eluvium jílovce), slabě písčitý, tvrdý (tence břidličnatý rozpad), F7, 4 |
| 9,40 - 10,50 | černý prachovitý jíl, slabě písčitý, tvrdý, s oj. drobnými úlomky jílovce do 1cm, místy slabě vápnitý, s oj. drobnými krystalky sádrovce, F8, 4 |
| 10,50 - 12,00 | černý prachovitý jíl, tvrdý, kostičkový až břidličnatý rozpad, F8, 4 podzemní voda ustálená 9,90m pod terénem (po 24hod.) |

S 3 (236,77)

0,00 - 0,40m hnědá prachovitá hlína, zajílovaná, tuhá, slabě vápnitá, s oj. valouny drobného až středního štěrku, humosní, F6, 3

0,40 - 1,00m hnědá prachovitá hlína, projílovaná, tuhá, slabě vápnitá, F6, 3

1,00 - 3,00m hnědorezivá našedlá prachovitá hlína, projílovaná, jemně písčitá, lepší než tuhá, místy slabě vápnitá, F6, 3

3,00 - 4,70 hnědošedá narezlá prachovito-jílovitá hlína, tuhá až pevná, místy slabě písčitá, místy slabě vápnitá, F6, 3

4,70 - 5,70 šedohnědý narezlý prachovitý jíl, pevný, slabě vápnitý, s oj. drobnými úlomky podložních hornin do 1cm, s drobnými krystalky sádrovce do 0,5cm, F8, 3

5,70 - 6,70 hnědý prachovitý jíl, pevný, s cihlově červenými vápnitými písčitějšími polohami a hnízdy drobného úlomkovitého štěrčíku, oj. krystalky sádrovce vel. až 1cm, oj. černé úlomky jílovce do 3cm, F8

6,70 - 8,20 hnědý okrově našedlý prachovitý jíl, pevný, s písčitějšími polohami a příměsí drobného úlomkovitého štěrčíku do 0,5cm, vápnitý, F8

8,20 - 8,80 rezivě hnědý prachovitý jíl (eluvium jílovce), pevný až tvrdý, velmi slabě vápnitý, břidličnatý rozpad, F8, 3 - 4

8,80 - 9,00 rezivě šedý prachovitý jíl, slabě písčitý, tvrdý, s odolnými úlomky jílovce do 3cm, s oj. krystalky sádrovce vel. až 1cm (eluvium jílovce), F8, 4
velmi slabý průsak v hl. 6,40m

4. Geotechnické vlastnosti zemin a hornin

4.1 Paleogenní jílovce (uherčické vrstvy pouzdřanského souvrství) mají charakter vysoce plastických ($w_L = 51 - 59\%$) **prachovitých jílů**. Lze je řadit dle ČSN 731001 do tř. F7 (MH) až F8 (CH) - *hlína až jíl s vysokou plasticitou*. Zeminy jsou pevné až **tvrdé** konzistence ($I_C = 1,18 - 1,30$). Pro statické a geotechnické výpočty lze počítat s těmito parametry:

$$\text{objemová tíha } \gamma = 20,5 \text{ kN.m}^{-3}$$

modul přetvárnosti $E_{def} = 8,0 \text{ MPa}$

efektivní soudržnost $c_{ef} = 25 \text{ kPa}$

efektivní úhel vnitřního tření $\phi_{ef} = 16^\circ$

Poissonovo číslo $\nu = 0,42$

výpočtová únosnost $R_{dt} = 230 \text{ kPa}$ (bez vlivu tíhy nadlož. zemin)

4. tř. těžitelnosti

4.2 Deluviální prachovité jíly lze řadit dle ČSN 731001 do tř. F7 (MH) až F8 (CH) - *hlína až jíl s vysokou plasticitou*, resp. tř. F6 (CI) - *jíl se střední plasticitou*. Zeminy jsou v průměru **pevné** konzistence.

$\gamma = 21,0 \text{ kN.m}^{-3}$

$E_{def} = 7,0 \text{ MPa}$

$c_{ef} = 20 \text{ kPa}$

$\phi_{ef} = 15^\circ$

$\nu = 0,40$

$R_{dt} = 175 \text{ kPa}$ (bez vlivu tíhy nadlož. zemin)

3. tř. těžitelnosti

4.3 Deluviální až deluvioeolické prachovité hlíny, projílované až prachovito-jílovité hlíny, proměnlivě jemně písčité jsou v průměru **tuhé** konzistence. Dle ČSN 73 1001 je lze řadit do tř. F6 (CI) - *jíl se střední plasticitou*.

$\gamma = 20,0 \text{ kN.m}^{-3}$

$E_{def} = 4,0 \text{ MPa}$

$c_{ef} = 12 \text{ kPa}$

$\phi_{ef} = 20^\circ$

$\nu = 0,40$

$R_{dt} = 100 \text{ kPa}$

3. tř. těžitelnosti

5. Úložné poměry na lokalitě stavby

Úložné poměry na lokalitě jsou patrné z petrografických popisů **vrtaných sond S 1 - S 3**. Průzkumné vrty byly provedeny pod úroveň základové spáry VDJ, do hl. 9,00 - 12,00m.

Předkvartérní podloží na lokalitě tvoří uherčické vrstvy paleogénu (svrchní eger) **pouzdřanského souvrství** (pelitická litofacie flyšového pásma). Ty jsou reprezentovány homogenními černými, černošedými, černohnědými, rezivě hnědými až rezivě šedými **jílovci**. Makroskopicky se jedná o **vysoce plastický tvrdý prachovitý jíl**, s oj. pevnými úlomky jílovce vel. 1 - 3cm, s břidličnatým rozpadem. Jejich povrch byl dokumentován v hl. 8,00 - 8,50m pod stávajícím terénem. V povrchových vrstvách byly dokumentovány oj. drobné krystalky sádrovce vel. až 1cm.

Z **granulometrických analýz** vyplývá, že zeminy obsahují 39,2 - 51,0% jílových frakcí. Podíl prachových zrn mírně kolísá (41,2 - 51,2%), omezená je písčitá příměs (4,6 - 12,6%). **Plasticita** všech vzorků byla **vysoká** ($w_L = 51 - 59\%$). Klasifikace zemin vychází z Casagrandeho plasticitního diagramu. Všechny vzorky lze řadit do tř. F7 (MH) až F8 (CV) - *hlína až jíl s vysokou plasticitou*, dle ČSN 73 1001, do tř. C1 - *jíl* dle ČSN EN ISO 14688-2.

Vlhkost zemin v hloubkovém intervalu jílového masivu (eluvium jílovce) slabě kolísá. Od povrchu směrem k bázi většinou mírně klesá, až na hodnotu 17,2%, osciluje kolem hodnoty 24%. Tyto relativně pozvolné změny ilustruje i relativně malý rozptyl **konzistence zemin** ($I_C = 1,18 - 1,30$). Přesahuje většinou hodnotu $I_C = 1,20$. Jedná se o zeminy **pevné až tvrdé** konzistence. **Mez plasticity** ($w_P = 25 - 35\%$) je u všech vzorků vyšší než vlhkost, zeminy jsou dle lab. rozborů v **pevnému stavu**. Jedná se o horniny **4. tř. těžitelnosti**. Tomu odpovídají i odvozené hodnoty **smykových pevností a deformačních parametrů**. Neporušené vzorky pevných až tvrdých jílovců nelze z technologických důvodů odebrat.

V nadloží tmavě šedých zvětralých jílovců pouzdřanského souvrství se nachází litologicky podobné **nehomogenní souvrství deluviálních jílů**. Jedná se o hnědé, tmavě a rezivě hnědé, šedohnědé až rezivě hnědočerné **prachovité jíly**, v

průměru **pevné** konzistence. Jejich povrch byl dokumentován v sondách S 1 a S 3 v hl. 4,00 - 4,70m , v sondě S 2 až v hl. 7,20m. Jsou uloženy na paleogenních jílových s ne zcela ostrým litologickým rozhraním (plynulé faciální přechody).

Tomu odpovídají i výsledky granulometrických rozborů. Zeminy obsahují 42,3 - 46,8% jílových frakcí. Podíl prachových zrn mírně kolísá (42,5 - 52,1%), písčitá příměs činí 5,6 - 10,7%). **Plasticita** vzorků je **vysoká** ($w_L = 54 - 59\%$). Vzorky lze řadit do tř. F7 (MH) až F8 (CV) - *hlína až jíl s vysokou plasticitou*. Část zemin patří do tř. F6 (CI) - *jíl se střední plasticitou*. Zjištěný index konzistence $I_C = 1,10 - 1,11$ (zeminy pevné konzistence).

Hlavní rozdíl oproti podložnímu souvrství tvrdých prachovitých jílů (jílovců) je **nehomogenita**. Souvrství obsahuje prachovité poprašky na vrstevních plochách, hnízda krystalků sádrovce, oj. úlomky podložních hornin, vápnité písčité polohy s hnízdy úlomkovitého drobného štěrčíku (detritu). Místy se vyskytují polohy nižší, **tuhé** konzistence. V sondě S 3 byl dokumentován v hl. 6,40m velmi slabý průsak podzemní vody.

Kvartérní pokryv tvoří deluviaální až deluvioeolické **prachovité hlíny**, **projíované** až **prachovito-jílovité hlíny**, proměnlivě jemně písčité. Zeminy mají nižší podíl jílových frakcí než podložní zeminy ($\leq 33\%$), dominují prachová zrna ($\geq 50\%$) a mají lokálně vyšší písčitou příměs (14,6%). Zeminy lze řadit do tř. F6 (CI) - *jíl se střední plasticitou*. Jejich konzistence je převážně **tuhá** ($I_C = 0,91$). Jejich báze byla dokumentována v sondách S 1 a S 3 v hl. 4,00 - 4,70m , v sondě S 2 až v hl. 7,20m (erozní rýha vyplněná deluviaálními až deluvioeolickými sedimenty).

Souvrství **není homogenní** obsahuje prachovitější, projíované a písčitější polohy, silně vápnité polohy na vrstevních plochách, oj. drobné úlomky podložních hornin, oj. drobné krystalky sádrovce. Konzistence zemin kolísá v mezích tuhá až pevná.

6. Výskyt podzemní vody

Geologickými sondami S 1 - S 3 aktuálního průzkumu do hl. 9,00 - 12,00m

nebyla podzemní voda navrtaná. Průzkumnými pracemi byla dokumentována pouze provlhčená poloha v sondě S 3 v hl. 6,40m.

Nehomogenní souvrství deluviálních až deluvieolických hlín a deluviálních jílů umožňují jen velmi omezenou komunikaci srážkové infiltrované vody, prostředí neumožňuje její významnou akumulaci. V uvedeném souvrství nelze uvažovat o souvislé hladině podzemní vody.

Po 24 hod. zůstali sondy S 1 a S 3 suché. V sondě S 2 podzemní voda **nastoupila** a ustálila se v hl. 9,90m. Zde byla detekována deprese v souvrství deluviálních jílů. Slabý přítok byl patrně z puklin hlubších tvrdých prachovitých jílů (jílovců). Tvoří součást **lokálních neprůběžných obzorů podzemních** vod s **malou vydatností** v hlubším souvrství.

Zemními pracemi nebude podzemní voda na rozhodující části **staveniště** zastižena a zemní práce budou prováděny při průměrném vodním stavu v **bezvodém prostředí**. Vzhledem k minimální propustnosti lze očekávat jen vyjímečně lokální omezený průsak až přítok podzemní vody v závislosti na klimatických podmírkách.

Výskyt podzemní vody má vliv na stabilitu svahu, především na projektovaný zásah (odřez severovýchodní stěny stavební jámy). Stejně tak je důležitá ochrana základové půdy a staveniště obecně před extrémními srážkami a přítokem vody z výše položených částí svahu, aby nebyly zhoršeny geotechnické parametry zemin. Antropogenní zásahy, **podzemní a srážková voda** jsou faktory, které mohou vést ke **svahové nestabilitě**.

7. Stabilita území

V širším zájmovém území jsou popsány ve svažitém terénu svahové pohyby (sesuvy). Paleogenní jílovce s občasnými lavicemi pískovců jsou v povrchové zóně zvětralé na zeminy a v důsledku několika souběžných činitelů (tektonické porušení poloskalního podkladu, jílovité zvětrávání, podmáčení podzemní vodou, větší úklon reliéfu) jsou **náchylné ke svahové nestabilitě**. Flyšové souvrství obsahuje silně zvětralé (charakteru zemin) a zvodnělé polohy. Klimatické vlivy a antropogenní zásahy mohou zvýšit **rizika svahových pohybů**. V Geofondu Praha jsou v

databázích svahových nestabilit popsány **potenciální suché sesuvy** na svazích Dyjsko-moravské pahorkatiny. Tyto lokality se nachází **mimo bezprostřední zájmové území**.

V širším zájmovém území se vyskytují paleogenní horniny **křepického souvrství**. Tvoří jej drobně až **středně rytmický flyš** se střídáním světlých slabě zpevněných vápnitých **pískovců** a tmavších prachovitých **jílovců**. Tyto horniny **nebyly průzkumy zastiženy**.

Mechanické vlastnosti **prachovitých jílů** (jílovců) jsou závislé z podstatné části na vlhkosti a konzistenčních mezích. Ty jsou dále závislé na konkrétní mineralogii jílových mineralů. Mineralogické rozbory nebyly prováděny. U 5 vzorků z hl. 8,50 - 10,50m byla zjištěna **pevná až tvrdá konzistence** ($I_C = 1,18 - 1,30$).

Na puklinách hornin se vyskytují bílé tabulkovité **krystalky sádrovce** vel. až 1cm (drůzy krystalků). Při krystalizaci sádrovce dochází ke zvětšování objemu. Při krystalizačním tlaku může docházet k **potrhání struktury** jílů (jílovců), **zasakování vody** a dalšímu vzniku krystalů, resp. zvětrávání sedimentů. Výskyt sádrovce negativně ovlivňuje pevnostní charakteristiky sedimentů, umožňující vytvářet potenciální smykové plochy svahových nestabilit. Od hl. 10,00 - 10,50m již krystalky sádrovce nebyly dokumentovány.

Makroskopický popis ani laboratorní rozbory nesignalizují od této hloubky v homogenním souvrství paleogenních jílovců, pevných až tvrdých jílů, žádné provhlcené, měkce tuhé nebo měkké polohy, ani polohy které by svědčily o sesouvání (fosilní sesuvy). Zaznamenány nebyly polohy potrhaných jílů, ani silně vápnité polohy s vysráženým CaCO_3 a vápnitými úlomky, velké drůzy sádrovců ani **žádné jiné nehomogenity**.

Stávající **morfologie nevykazuje** v blízkosti staveniště žádné **znaky instability** svrchních kvartérních vrstev ani historických sesuvů. Území nad staveništěm je terasovitě upraveno. Při těchto úpravách byl lokálně překročen stupeň stability a s přispěním klimatických vlivů, došlo k lokálním velmi omezeným deformacím teras. Žádné geomorfologické anomálie nevykazuje svah po realizaci stávajícího **VDJ**.

Z hlediska svahové stability je třeba věnovat pozornost **odřezu** stavební jámou v severovýchodní části staveniště, kde výška svahu (odřezu) přesahuje 8,00m. Tyto práce je třeba provádět pod ochranou **zátažného záporového pažení** (blíže viz kap. 9.).

Z hlediska stability celého svahu je rizikovým faktorem **sklon svahu**. Ten dosahuje v horní části (vlastní staveniště 26 - 32%, v dolní části svahu 8 - 19%. Vodojem je založen v nehomogenním souvrství deluviálních až deluvioeolických hlín a deluviálních jílů.

Nehomogenita svrchních vrstev způsobená písčitějšími polohami s příměsí detritu a silně vápnitými polohami umožňuje **průsak srážkové vody**, resp. omezenou migraci podzemní vody při vyšším vodním stavu. O tom svědčí i omezené polohy nižší konzistence a druhy krystalků sádrovce, jejichž rozvoj je umožněn vyšší vlhkostí. Za nehomogenitu lze považovat i depresi v deluviálních jílech detekovanou v sondě S 2. **Potenciální smykovou plochu** může tvořit rozhraní deluviálních a paleogenních sedimentů.

Rizikovým faktorem svahových nestabilit je kromě antropogenních zásahů a přítomnost **podzemní vody**. Ta byla dokumentována jen v sondě S 2 v hl. 9,90m (pod úrovni ZS).

Výše uvedená rizika budou dále zvýšena při **realizaci vlastní stavby**, kdy bude odtěžen velmi slabě až nepatrně propustný pokryv. To zvýší rizika přístupu **srážkové vody** k podložním sedimentům.

Při realizaci plošně založené stavby by stabilitní řešení nedosáhlo požadovaného **stupně bezpečnosti**. Proto je třeba přenést podstatnou část zatížení do **hlubších vrstev homogenních tvrdých jílovců** pomocí **vrtaných pilot**, které budou součástí základové desky. Tato úroveň se nachází v hl. 10,00 - 10,50m pod stávajícím terénem. Je nutné navrhnout staticky dimenzovaný **systém pilot** hl. cca 5,00 - 8,00m pod úroveň plošných základů.

Stabilitu svahu je třeba znovu posoudit po aktualizaci projektové dokumentace založení VDJ. Geotechnické parametry pro **stabilitní výpočty** lze odvodit od nejméně příznivé sondy S 2 (metráž od povrchu terénu):
0,00 - 7,20m zeminy tř. F6, tuhé konzistence

7,20 - 8,50 zeminy tř. F7, pevné konzistence
hlouběji zeminy tř. F8, tvrdé konzistence
úroveň hladiny podzemní vody - 9,90m

Geotechnické parametry pro statické výpočty jsou uvedeny v kap. 4.

8. Založení objektu

Úroveň mírně zalomené **základové spáry** je vzhledem k velmi svažitému terénu cca v hl. 2,30 - 7,90m. Z toho vyplývá i **nehomogenita základové půdy**. Tvoří ji hnědé, rezivěhnědé až rezivě hnědočerné až šedohnědé prachovité **deluviální jíly**, tuhé až pevné konzistence, tř. F6 (CI) - *jíl se střední plasticitou* a tř. F7 (MH) až F8 (CH) - *hlína až jíl s vysokou plasticitou*. Na jihozápadním okraji tvoří základovou půdu hnědorezivé našedlé **prachovité hlíny, projíované**, jemně písčité, až **prachovito-jílovité hlíny**, proměnlivě vápnité, tuhé až pevné konzistence, tř. F6 (CI) - *jíl se střední plasticitou*. Základová spára je situovaná v nehomogenním souvrství deluviálních jílů a deluviálních až deluvioeolických hlín proměnlivé konzistence. Plošné sjednocení jejich geotechnických parametrů je možné vrstvou hutněného štěrkopísku mocnosti cca 300mm.

Vysoce plastické jíly jsou náchylné k **objemovým změnám** vlivem změny vlhkosti. Při snižování vlhkosti se jílovité zeminy smršťují, při zvyšování vlhkosti naopak bobtnají. Niveletu výkopu je třeba před změnou vlhkosti a před klimatickými vlivy chránit. Niveleta by neměla být odkryta v zimním období. Tomu je třeba přizpůsobit technologický postup prací. Niveletu je třeba chránit i před mechanickým porušením. Finální vrstvu je možné odtěžit až těsně před dalšími pracemi, je třeba použít lžíci bagru s rovným břitem. **Výpočtová únosnost** $R_{dt} \geq 100$ kPa základové půdy a její deformační charakteristiky $E_{def} \geq 4,0$ MPa vyhoví projektovanému zatížení.

Je však třeba vzít v úvahu působení stavby na **podloží velmi příkrého svahu** v průběhu stavby a po jejím dokončení. Je nutné přenést podstatnou část zatížení do **hlubších vrstev homogenních tvrdých jílovců** pomocí **vrtaných pilot**, které budou součástí základové desky. Tato úroveň se nachází v hl. 10,00 -

10,50m pod stávajícím terénem. Piloty budou vethnuty do homogenního souvrství tvrdých vysoce plastických jílů tř. F7 (MH) až F8 (CV) - *hlína až jíl s vysokou plasticitou* (eluvium jílovců). V uvedené hloubce nebyly dokumentovány žádné nehomogenity, zaznamenán nebyl ani výskyt krystalků sádrovce. Vzhledem ke kruhovému půdorysu ZS v příkrém svahu je nutné navrhnut staticky dimenzovaný systém pilot hl. cca 5,00 - 8,00m pod úroveň plošných základů. Geotechnické parametry pro dimenzování pilotových základů lze odvodit od nejméně příznivé sondy S 2 (metráž od povrchu terénu) :

0,00 - 7,20m zeminy tř. F6, tuhé konzistence

7,20 - 8,50 zeminy tř. F7, pevné konzistence

hlouběji zeminy tř. F8, tvrdé konzistence

úroveň hladiny podzemní vody - 9,90m

Geotechnické parametry pro statické výpočty jsou uvedeny v kap. 4.

Je třeba zabránit **znehodnocení geotechnických parametrů základové půdy** vlivem srážek, především **vlivem přívalových dešťů**. To se týká i event. přítoku z výše položených svahů. Stavební jáma musí být chráněna po obvodu proti těmto přítokům. Odvodnění dna stavební jámy je možné povrchové (plošný a obvodový drén), s gravitačním odvedením mimo stavební jámu. Nelze vyloučit i **omezený přítok podzemní vody** v nejhlubším místě (severovýchodní okraj stavební jámy).

Podkladní vrstvu štěrkopísku, podobně jako jiné propustné zásypy, je nutné v průběhu stavby přetěsnit zeminami tř. F6, hutněními při optimální vlhkosti, aby nedošlo k privilegovaným cestám průniku srážkových vod pod základy VDJ po dokončení stavby.

V souvislosti s navrženými technologiemi je třeba počítat s hrubými terénními úpravami pro přístup na staveniště, resp. zařízení staveniště.

9. Pažení stavební jámy

Výkopy VDJ, podstatnou část vysokého svahu, je nutné zabezpečit staticky dimenzovaným kotveným **záporovým pažením**. To spočívá v zapuštění vertikálních

I profilů do vrtů (zabetonovaných ve spodní části) a spoštění horizontálních dřevěných pažin, při současném odkopávání terénu. Převázky (ocel. profily) budou **kotveny do svahu** ve staticky dimenzovaných úrovních. Ve statických výpočtech je možné počítat s nejméně příznivým profilem sondy S 2 :

0,00 - 7,20m zeminy tř. F6, tuhé konzistence

7,20 - 8,50 zeminy tř. F7, pevné konzistence

hlouběji zeminy tř. F8, tvrdé konzistence

úroveň hladiny podzemní vody - 9,90m

Geotechnické parametry pro statické výpočty jsou uvedeny v kap. 4.

Vzhledem ke kruhovému půdorysu stavby je možné částečně provést zapažení příslušné části svahu jako lomenou stěnu sledujícím kruhové dno stavební jámy.

10. Zatřídění zemních prací a provádění pilot pro rozpočtovou dokumentaci

Soudržné nehomogenní **kvartérní hlíny** a **deluviální jíly** jsou tuhé, tuhé až pevné a pevné konzistence ($I_c \leq 1,20$). Vzhledem k indexu konzistence a indexu plasticity ($I_p \geq 17$) je možné tyto zeminy zařadit do 3. třídy těžitelnosti dle ČSN 73 3050. Prachovité jíly (**jílovce**) pevné až tvrdé konzistence ($I_c > 1,20$) patří do 4. tř. těžitelnosti. Malou část soudržných zemin lze považovat za **lepisné** ve smyslu čl. 67 ČSN 73 3050. Část zemních prací bude prováděna v **zásypech** stávajícího VDJ, jedná se většinou o zeminy 3. tř. těžitelnosti.

Souhrnné procentuální zastoupení jednotlivých tříd těžitelnosti pro zemní práce dle ČSN 73 3050 (již neplatná) bude stanoveno až na základě **výkopových plánů**.

Z hlediska **platné normy ČSN 73 6133** lze celý objem zemních prací řadit do tř. I., kdy je těžba prováděna **běžnými výkopovými mechanizmy**.

Při **realizaci pilot a vrtů** pro stojiny **záporového pažení** budou dotčeny převážně zeminy I. třídy **vrtatelnosti** dle katalogu cen stavebních prací 800-2 (pro pilotové základy). Od hl. 8,00 - 8,50m bude vrtání prováděno v jílovcích II. třídy vrtatelnosti.

I. Geologická mapa v měř. 1 : 50 000

KVARTÉR - holocén: 1 - antropogenní sedimenty; 2 - fluviální písčitohlinité sedimenty a sedimenty umělých vodních nádrží; 3 - deluviofluviální hlinitopísčité sedimenty; 4 - deluviální ronové humózní hlíny; 5 - organické sedimenty (rašeliny, slatiny, hnilekaly);

pleistocén: 6 - spraše, sprašové hlíny (würm); 7 - naváté písks (würm); 8 - deluvioeolické až eolic-kodeluviální sedimenty (würm); 9 - deluviální písčitohlinité sedimenty; 10 - deluviální hlinitokamenité sedimenty; 11 - písčité štěrky náplavového kuže (würm); 12 - fluviální písčité štěrky (würm); 13 - fluviální písčité štěrky a písks se štěrkem (mladý riss); 14 - fluviální písčité štěrky a písks se štěrkem (starší riss); 15 - fluviální písčité štěrky (mindel); 16 - fluviální písčité štěrky a písks se štěrkem „mladší štěrkopískový pokryv (günz); 17 - fluviální písčité štěrky a štěrky „starší štěrkopískový pokryv“ (donau - pliocén);

TERCIÉR - neogén: 18 - vápnité jíly a vápnité písks (baden spodní, morav, mořský); 19 - bazální a okrajová klastika, vápnité písks a štěrky (baden spodní, morav, mořský a brackický); 20 - vápnité jíly, písks, podřadně štěrky (karpat mořský); 21 - křemenné až polymiktní písks a polohy písčitých jílů a štěrku (ottnang - eggenburg); 22 - slídnaté jíly až jílovité písks (ottnang - eggenburg);

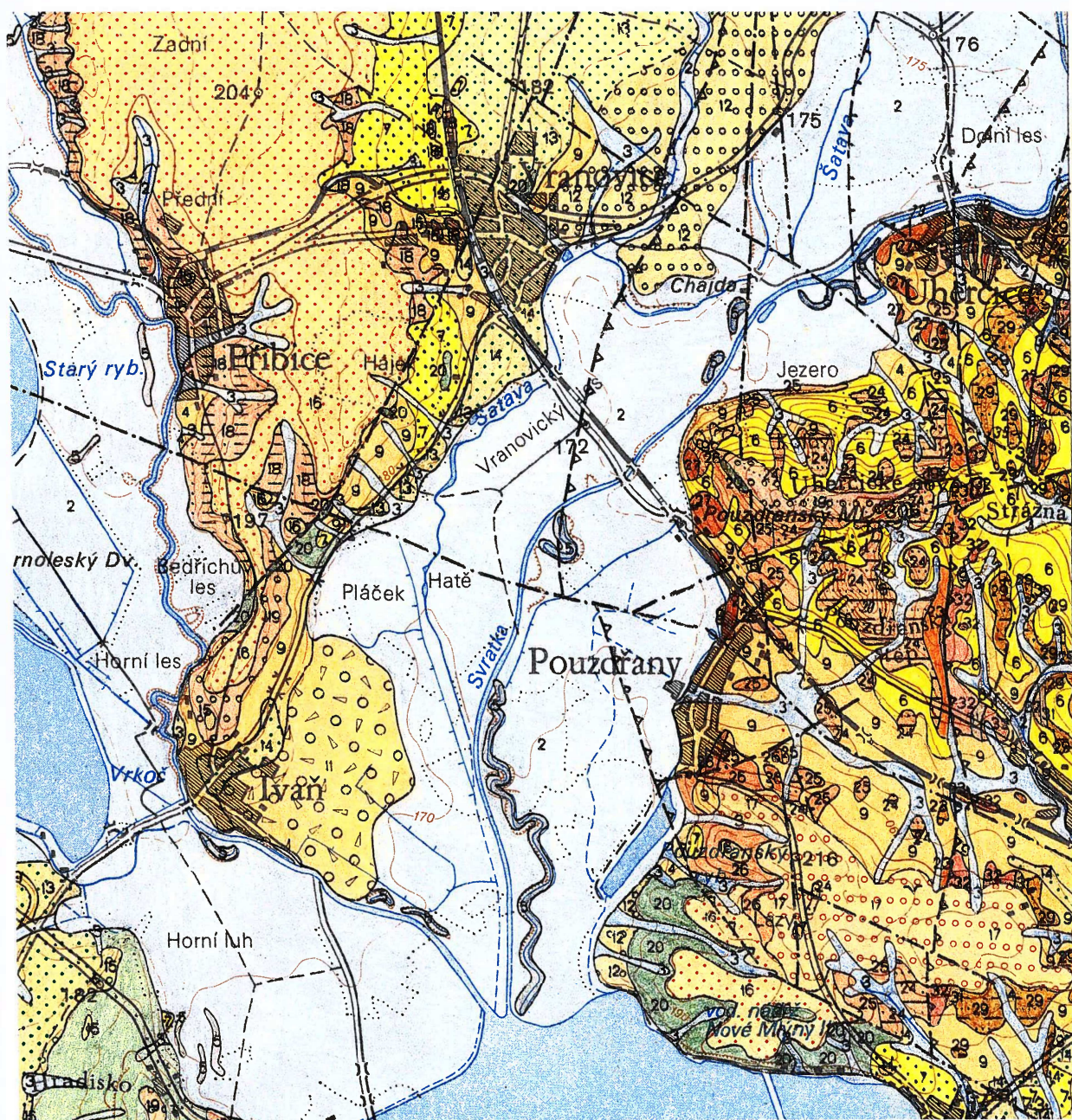
fylšové pásmo Karpat - pouzdřanská jednotka: 23 - šakvické slíny, pelitická facie (eggenburg); 24 - křepické souvrství, psamiticko-psefítická facie (svrchní eger - eggenburg); 25 - boudecké slíny, převážně pelitická facie (svrchní eger); 26 - uherčické souvrství, pelitická facie s diatomity a karbonaty (eger); 27 - pouzdřanské slíny, peliticko-psamitická facie (svrchní eocén - spodní oligocén - kiscell);

ždánická jednotka: 28 - ždánicko-hustopečské souvrství, pelitická facie (eger); 29 - ždánicko-hustopečské souvrství, psamiticko-pelitická facie (eger); 30 - ždánicko-hustopečské souvrství, psamitická facie (eger); 31 - menilitové souvrství, (spodní oligocén - kiscell); 32 - podmenilitové souvrství, psamiticko-psefítická až pelitická facie (senon svrchní až spodní oligocén - kiscell); 33 - mukronátové vrstvy, pelitická facie (svrchní senon - kampán až maastricht); 34 - klementské vrstvy, psamiticko-pelitická facie (turón - spodní senon); 35 - ernstbrunnské vápence (tithon - ?neokom); 36 - klentnické vrstvy, jílovce, vápence (oxford - tithon);

PALEOZOIKUM starší: 37 - aplitové horniny; 38 - granodioritové porfyry; 39 - biotitické až amfibol-biotitické granodiority, typ Krumlovský les; 40 - biotitické granodiority, typ Vedrovice; 41 - biotitické granodiority, typ Leskoun;

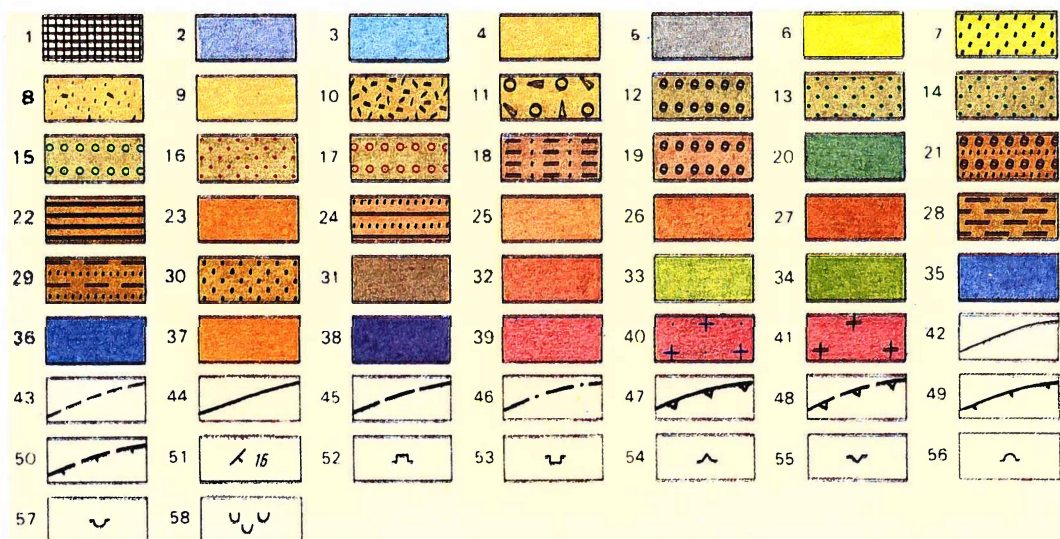
42 - zjištěná hranice stratigrafických jednotek a hornin; 43 - pravděpodobná hranice stratigrafických jednotek a hornin; 44 - zlom známý; 45 - zlom předpokládaný; 46 - zlom předpokládaný, zakrytý mladšími útvary; 47 - linie příkrovu ověřená; 48 - linie příkrovu předpokládaná; 49 - přesmyková linie ověřená; 50 - přesmyková linie předpokládaná; 51 - směr a sklon vrstev; 52 - lom v provozu; 53 - lom opuštěný; 54 - pískovna v provozu; 55 - pískovna opuštěná; 56 - hliniště v provozu; 57 - hliniště opuštěné; 58 - sesuvy.

I. Geologická mapa v měř. 1 : 50 000



34-21

Přídice



II. Hydrogeologická mapa v měř. 1 : 50 000

TYP KOLEKTORU A JEHO KVANTITATIVNÍ CHARAKTERISTIKA: Na mapě jsou znázorněny typy hydrogeologických kolektorů a jejich kvantitativní charakteristiky. Základní kvantitativní charakteristika zvodněného kolektoru - transmisivita - je vyjádřena barvou vyplývající odhadnuté (podle indexu transmisivity) a nebo zjištěné průměrné hodnoty koeficientu transmisivity T ($m^2 \cdot s^{-1}$). Intenzitu barvy je vyjádřena variabilitou transmisivity zvodněného kolektoru (plošná filtrační nehomogenita) na základě směrodatné odchyly indexu transmisivity příslušného kolektoru (s). Hodnota směrodatné odchyly je znázorněna černými číselnými indexy 1 až 4 nebo n (nelze zjistit). Nejintenzivnější barvy na mapě s černými indexy 1 nebo 2 zobrazují kolektory s nízkou variabilitou transmisivity a s nejnižší filtrační nehomogenitou kolektoru. Pro snazší rozlišení barev a cítelnost mapy a legendy jsou na mapě užita čísla 1 - 9, z nichž sada čísla označuje silnější odstín, a tedy nízkou variabilitu transmisivity a lichá slabší odstín - vysokou, anebo nezářnou variabilitu transmisivity. Stratigrafická příslušnost kolektoru je na mapě znázorněna zjednodušenými indexy, které označují převládající typ hornin, průlínový kolektor kvartérních fluviálních písčitých štěrků údolních niv překrytý holocenními písčitohnitými sedimenty (Qp-h): 1 - v údolní nivě řeky Jihlavky v okolí Medlova; $T > 6 \cdot 10^{-3} m^2 \cdot s^{-1}$, $s = 0,6 - 0,9$ (variabilita transmisivity vyznačena indexem 3, síla odstínu červené indexem 1); 2 - v údolních nivách a údolních terasách Dyje, Svatky, Jihlavky a jejich přítoků (Miroslavky od Troskotovic po ústí a Březanského potoka); $T = 1 \cdot 10^{-3} - 6 \cdot 10^{-3} m^2 \cdot s^{-1}$, $s = 0,3 - 0,6$ (variabilita transmisivity vyznačena indexem 2, síla odstínu červené indexem 4); průlínový kolektor kvartérních fluviálních píska a štěrků teras spodnopleistocenního stáří (Qp); 3 - pohořelicko-pasohlávecké (jímací území Pohořelice-Nová Ves) a okraj vráskové terasy; $T = 1 \cdot 10^{-3} - 6 \cdot 10^{-3} m^2 \cdot s^{-1}$, $s = 0,3$ (variabilita transmisivity označena indexem 1, síla odstínu červené indexem 4); 4 - mezi Pasohlávkami a Vlasaticemi a dále v pásmu Dolenice - Březany - Litobratice - Drnholec; $T = 1 \cdot 10^{-3} - 6 \cdot 10^{-3} m^2 \cdot s^{-1}$, $s = 0,6 - 0,9$ (variabilita transmisivity označena indexem 3, síla odstínu červené indexem 3); 5 - syrovicko-vráskové (mezi Smolínem a Iváním) a mezi Pohořelicemi a Novou Vsí; $T = 1 \cdot 10^{-4} - 1 \cdot 10^{-3} m^2 \cdot s^{-1}$, $s = 0,3 - 0,6$ (variabilita transmisivity označena indexem 2, síla odstínu červené indexem 6); 6 - pouzdřansko-strachotinské (na J od Nosislaví) a mezi Pouzdřany a Strachotinem; $T = 1 \cdot 10^{-4} - 1 \cdot 10^{-3} m^2 \cdot s^{-1}$, $s = 0,6 - 0,9$ (variabilita transmisivity označena indexem 3, síla odstínu červené indexem 6); 7 - v okolí Brodu nad Dyjí a Pasohlávek; $T > 6 \cdot 10^{-3} s^{-1}$, $s = 0,6 - 0,9$ (variabilita transmisivity označena indexem 3, síla odstínu červené indexem 1); 8 - na V od Židlochovic a sv. od Pouzdran; $T = 1 \cdot 10^{-4} - 1 \cdot 10^{-3} m^2 \cdot s^{-1}$, s nelze zjistit (variabilita transmisivity označena indexem 3, síla odstínu červené indexem 5); 9 - mezi Vodrovicemi a Kubšicemi; $T = 1 \cdot 10^{-3} - 6 \cdot 10^{-3} m^2 \cdot s^{-1}$, $s = 0,3 - 0,6$ (variabilita transmisivity označena indexem 2, síla odstínu červené indexem 4); 10 - v okolí Rakšic; $T = 1 \cdot 10^{-4} - 1 \cdot 10^{-3} m^2 \cdot s^{-1}$, $s = 0,6 - 0,9$ (variabilita transmisivity označena indexem 3, síla odstínu červené indexem 5); komplex většího počtu nepravidelně střídajících izolátorů (véspitné jily, příp. litotamnitové vápence) a průlínových kolektorů (píska a štěrky) stáří karpatobáden (Nk-b) nebo eggenburg-ottnang (Ne-o); 11 - při s. okraji Ukonovic; $T = 1 \cdot 10^{-4} - 1 \cdot 10^{-3} m^2 \cdot s^{-1}$, $s = 0,6 - 0,9$ (variabilita transmisivity označena indexem 3, síla odstínu červené indexem 5); 12 - ostatní výskyty na mapě; $T = 1 \cdot 10^{-4} - 1 \cdot 10^{-3} m^2 \cdot s^{-1}$, $s > 0,9$ (variabilita transmisivity označena indexem 4, síla odstínu červené indexem 1); 13 - mezi Medlovem a Ivánem; $T = 1 \cdot 10^{-4} - 1 \cdot 10^{-3} m^2 \cdot s^{-1}$, s nelze zjistit (variabilita transmisivity vyjádřena indexem n, síla odstínu červené indexem 5); 14 - na S od Nosislaví; $T = 1 \cdot 10^{-5} - 1 \cdot 10^{-4} m^2 \cdot s^{-1}$, $s = 0,6 - 0,9$ (variabilita transmisivity označena indexem 3, síla odstínu červené indexem 7); 15 - mezi Miroslaví a Olbramovicemi; $T = 1 \cdot 10^{-3} - 6 \cdot 10^{-3} m^2 \cdot s^{-1}$, $s = 0,3 - 0,6$ (variabilita transmisivity označena indexem 2, síla odstínu indexem 4); 16 - mezi Bohuticemi, Olbramovicemi a Vedrovicemi; $T = 1 \cdot 10^{-4} - 1 \cdot 10^{-3} m^2 \cdot s^{-1}$, $s = 0,3 - 0,6$ (variabilita transmisivity označena indexem 2, síla odstínu červené indexem 6); 17 - mezi Vedrovicemi a Malešovcemi; $T = 1 \cdot 10^{-3} - 1 \cdot 10^{-2} m^2 \cdot s^{-1}$, $s = 0,6 - 0,9$ (variabilita transmisivity označena indexem 3); 18 - komplex většího počtu nepravidelně se střídajících zvrásněných průlínovo-puklinových kolektorů (píska, písckovce, slepence) a izolátorů (jily, jílovce) paleogenního stáří (Pg); $T = 1 \cdot 10^{-4} - 1 \cdot 10^{-3} m^2 \cdot s^{-1}$, s nelze zjistit (variabilita transmisivity vyjádřena indexem n, síla odstínu červené indexem 5); 19 - nepravidelně střídání většího počtu zvrásněných izolátorů (slínky, jílovce) a puklinových, příp. puklinovo-krasových kolektorů (písckovce, vápence) svrchnokřídového stáří (K); $T = 1 \cdot 10^{-6} - 1 \cdot 10^{-5} m^2 \cdot s^{-1}$, s nelze zjistit (variabilita transmisivity vyjádřena indexem n, síla odstínu červené indexem 9); 20 - zvrásněný puklinovokrasový až puklinový kolektor titonických (ernstrunnických) vápenců (J); $T = 1 \cdot 10^{-6} - 1 \cdot 10^{-5} m^2 \cdot s^{-1}$, s nelze zjistit (variabilita transmisivity vyjádřena indexem n, síla odstínu červené indexem 9); 21 - zvrásněný puklinový kolektor připovrchové zóny zvrátila a rozpukaných granitoidů (přev. granodiorit) brněnského masívu (y); $T = 1 \cdot 10^{-5} - 1 \cdot 10^{-4} m^2 \cdot s^{-1}$, s nelze zjistit (variabilita transmisivity vyjádřena indexem n, síla odstínu červené indexem 7);

KVALITA PODZEMNÍ VODY Z HLEDIŠKA VYUŽITELNOSTI PRO ZÁSOBOVÁNÍ PITNOU VODOU: kvalita podzemní vody příslušného kolektoru je vyjádřena v kategorii jakosti I až III ve smyslu ČSN 83 0611 a využití podzemní vody po kritickém účelu. Přetisk výrazně oranžové šrafy vyznačuje jen území s málo využívající, anebo nevyužívající kvalitou vody. V územích s využívající kvalitou vody (I. kategorie), která kromě desinfekce a mechanického odkyselení nevyžaduje úpravu, nebylo přetisku použito. Ojedinělá přítomnost jedné z kritických složek, které místně zhoršuje o stupeň kategorii vody z I. na II. nebo z II. na III., je vyznačena příslušným symbolem. Hlavní kritérium pro zařazení vod do kategorie II a III jsou tyto koncentrace rozhodujících složek:

II. kategorie: $Ca + Mg$ méně než 1 mmol.l^{-1} nebo $3,5 - 9 \text{ mmol.l}^{-1}$, Fe 0,3 až 30 mg.l^{-1} , NH_4 více než $0,1 \text{ mg.l}^{-1}$, Mn 0,1 až 10 mg.l^{-1} , NO_2 více než $0,1 \text{ mg.l}^{-1}$, NO_3 15 až 50 mg.l^{-1} ;

III. kategorie: $Ca + Mg$ více než 9 mmol.l^{-1} , Fe více než 30 mg.l^{-1} , Mn více než 10 mg.l^{-1} , NO_3 více než 50 mg.l^{-1} , celková mineralizace (M) více než 1 g.l^{-1} ;

22 - území s vodami II. kategorie; 23 - území s vodami III. kategorie; 24 - symbol kritické složky (Fe, Mn, N, M), která místně zhoršuje plnoště vymezenou kvalitu vody;

HRANICE ZVODNĚNÝCH KOLEKTORŮ A ZVODNĚNÝCH SYSTÉMŮ: 25 - hranice zvodněného kolektoru nebo zvodněného systému bez vyjádření okrajových podmínek; 26 - rozhraní mezi plochami o různé transmisivitě nebo různém stupni variabilita transmisivity; 27 - hlavní rozvodnice podzemní vody v první zvodni (převzato ze Základní vodo hospodářské mapy ČSSR 1 : 50 000);

PRAMENNÍ VÝVĚRY (rozlišené podle průměrné výdatnosti v l.s^{-1}): 28 - pramen s výdatností 0,1 - 1; 29 - pramen s výdatností 1 - 10;

DYNAMIKA PODZEMNÍCH VOD: 30 - hydrozohypaz první zvodně; 31 - směr proudění v první zvodni;

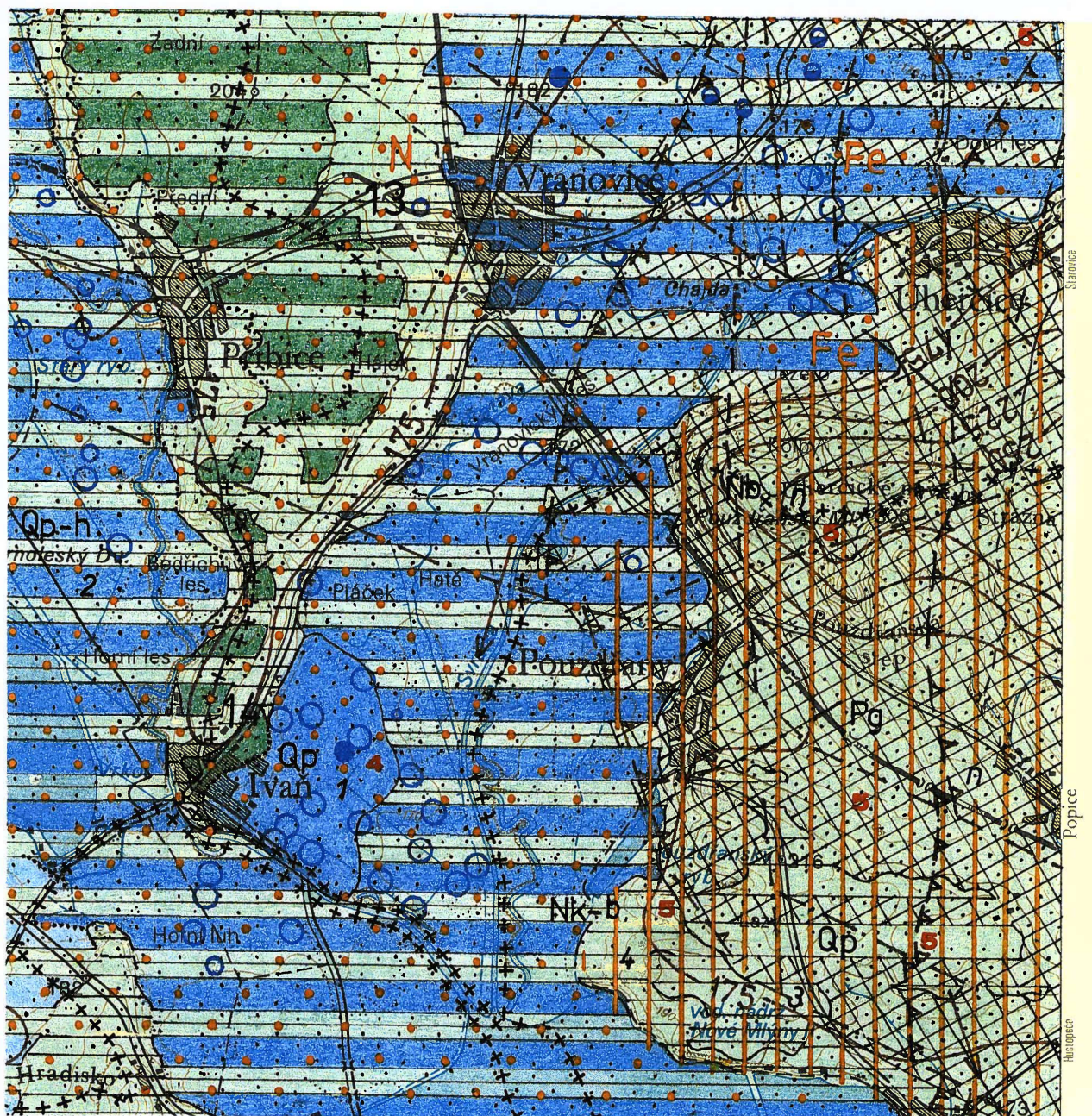
UMĚLÉ HYDROGEOLOGICKY VÝZNAMNÉ OBJEKTY: vrty které poskytly hydrogeologické informace; pořadové číslo vlevo od značky vrtu (1-15) označuje vybraný vrt, jehož základní parametry jsou uvedeny v tabulce legendy; rozlišení vrtu podle jednotkové specifické výdatnosti q ($\text{l.s}^{-1} \cdot \text{m}^{-1}$): 32 - q do 0,1; 33 - q 0,1 - 1; 34 - q 1 - 10; 35 - q nad 10; 36 - významná kopaňa nebo soustředěná studna sloužící k odberu vody; 37 - zachycení pramene jímkou; 38 - systém vrtů v jímacích územích (jímací vrt, studny apod.);

STRUKTURNÉ-TEKTONICKÉ PRVKY: 39 - zlom předpokládaný; 40 - zlom zakrytý; 41 - výchoz přesunové plochy nižšího rádu; 42 - přesmyková linie předpokládaná;

ZNAZORNĚNÍ SUPERPOZICI ZVODNĚNÝCH KOLEKTORŮ A ISOLÁTORŮ: A - průlínový kolektor kvartérních fluviálních štěrků a píska (Qp-h, Qp) v nadloží komplexu většího počtu nepravidelně se střídajících zvrásněných průlínovo-puklinových kolektorů (píska, písckovce, slepence) a izolátorů (jily, jílovce) v paleogenních sedimentech (Pg);

B - průlínový kolektor kvartérních fluviálních štěrků a píska (Qp-h, Qp), překryvající komplex nepravidelně se střídajících izolátorů (neogenní jily a jílovce karpatské předhlubně) s průlínovými kolektory (píska a štěrky karpatu a badenu) (Nk-b).

II. Hydrogeologická mapa v měř. 1 : 50 000

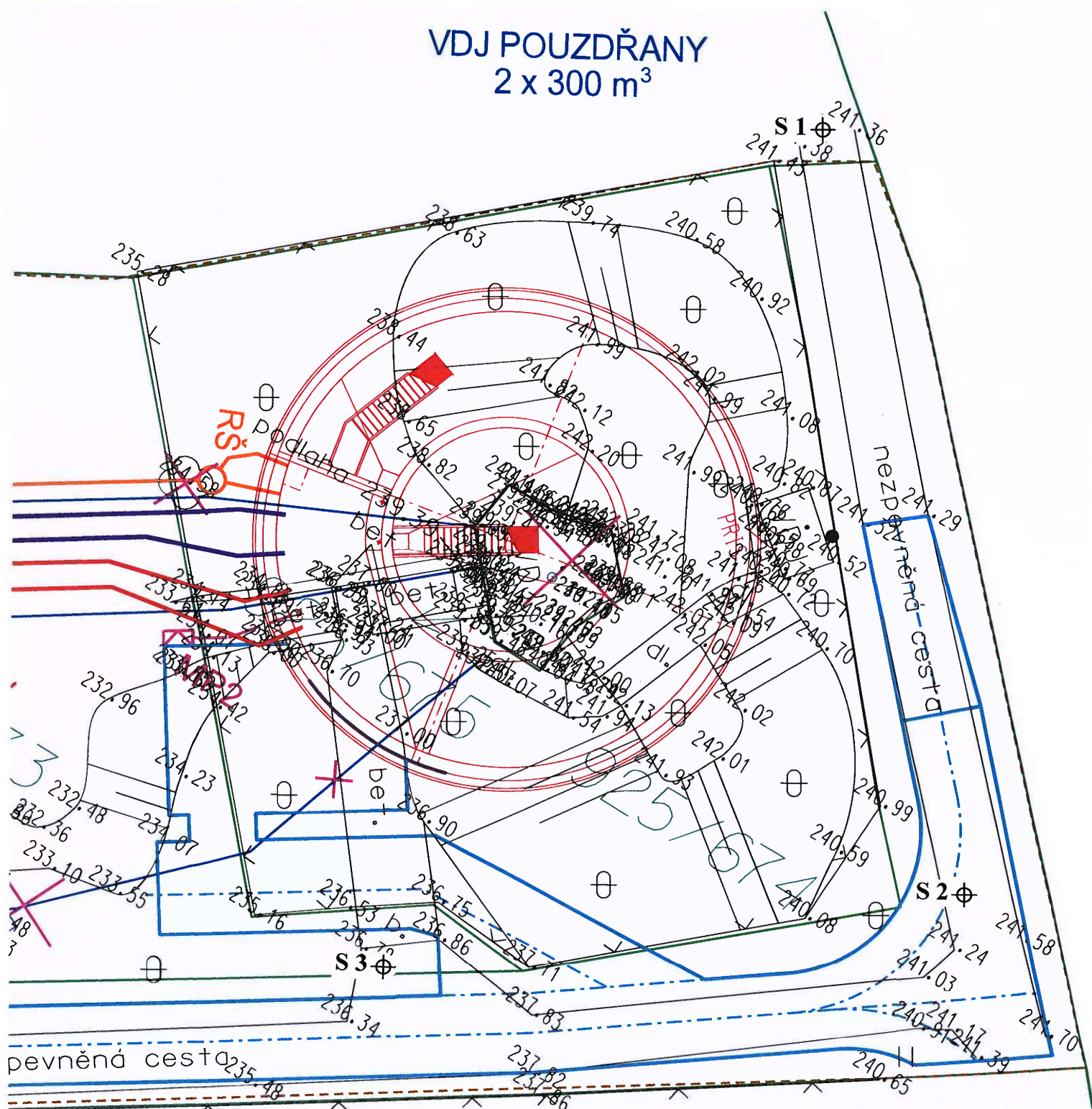


34-21

| | | | | | | |
|-----------|-----------|-----------|-----------|-----------|-----------|-----------|
| 1 Qp-h 1 | 2 Qp-h 2 | 3 Qp 4 | 4 Qp 3 | 5 Qp 6 | 6 Qp 5 | 7 Nb 1 |
| 3 | 2 | 1 | 3 | 2 | 3 | 3 |
| 8 Nb 5 | 9 Ne-o 4 | 10 Ne-o 5 | 11 Nk-b 5 | 12 Nk-b 5 | 13 Nk-b 5 | 14 Nk-b 7 |
| n | 2 | 3 | 3 | 4 | n | 3 |
| 15 Ne-o 4 | 16 Ne-o 6 | 17 Ne-o 5 | 18 Fe 5 | 19 Fe 5 | 20 Fe 9 | 21 Fe 7 |
| 2 | 2 | 3 | n | n | n | n |
| 22 | 23 | 24 | Fe | 25 | 26 | 27 |
| 29 | 30 200 | 31 | 32 | 33 | 34 | 35 |
| 36 | 37 | 38 | 39 | 40 | 41 | 42 |

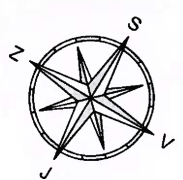
výřez Hydrogeologické mapy ČR - list 34 - 12 (Pohořelice), ÚÚG Praha, 1990

III. Situace vrtaných sond v měř. 1 : 200



LEGENDA :

⊕ S 1 VRTANÁ SONDA



IV. Laboratorní rozbory zemin

Laboratorní výsledky

odběratel: **Symbioteknika, s.r.o.**
datum: **25. duben 2021**

vzorek : **Pouzdřany**
S1 5,5m

| zrno | S1 5,5m |
|-------------|----------------|
| (mm) | (propad (%) |
| 4 | 100,00 |
| 2 | 99,23 |
| 1 | 97,26 |
| 0,500 | 95,15 |
| 0,250 | 94,10 |
| 0,125 | 93,24 |
| 0,063 | 89,32 |
| 0,050 | 87,40 |
| 0,0300 | 83,13 |
| 0,0230 | 79,73 |
| 0,0140 | 72,53 |
| 0,0084 | 65,01 |
| 0,0050 | 58,10 |
| 0,0032 | 52,42 |
| 0,0020 | 46,76 |

| | |
|---------------------------------------|-------|
| vlhkost vzorku % | 29,72 |
| mez tekutosti % | 54 |
| mez plasticity% | 32 |
| index plasticity | 22 |
| stupeň konzistence | 1,10 |
| zdán.měrná hmotnost kg/m ³ | 2663 |
| ČSN 73 1001 část.<60 | F |
| ČSN 73 1001 dle plasticity | MH |

Zařazení dle ČSN 73 1001
F7 MH hlína s vysokou plasticitou

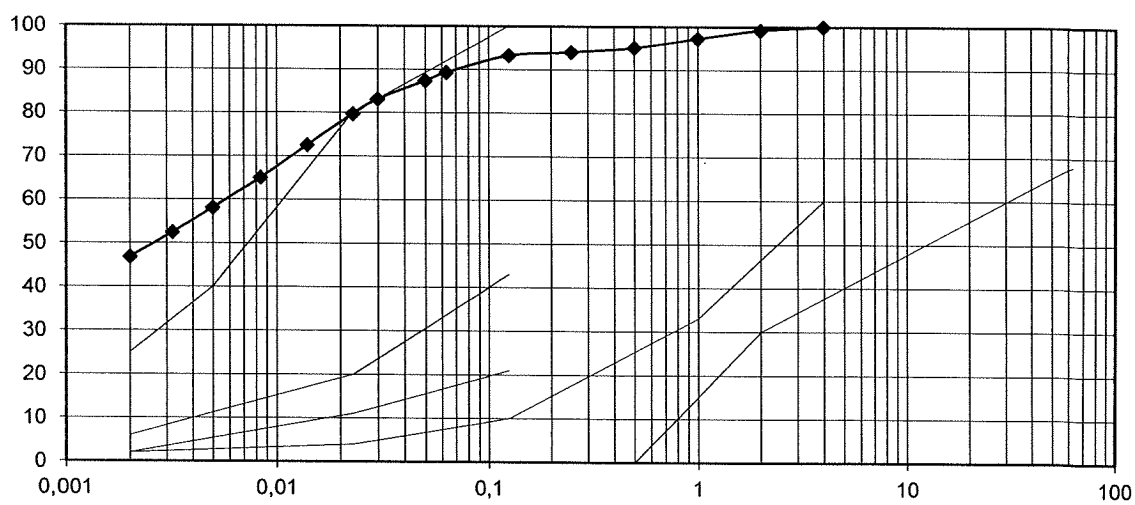
Zařazení dle ČSN EN ISO 14688-2
CI

Metodika laboratorních zkoušek zemin

Stanovení vlhkosti zemin
Stanovení zdánlivé hustoty pevných částic zemin
Stanovení zrnitosti zemin
Stanovení konzistenčních mezi

ČSN CEN ISO/TS 17892-1
ČSN CEN ISO/TS 17892-3
ČSN CEN ISO/TS 17892-4
ČSN CEN ISO/TS 17892-12

Granulometrie S1 5,5m



V Brně dne: **25. duben 2021**

Ing. Karel ZÁBRODŠKÝ
laboratorní a technologické práce

laboratorní a technologické práce

telefon
+420602732068

Ing. Karel Zábrodský
Merhautova 144
613 00 Brno

Merhautova 144
613 00 Brno
čp 05/581986

DIČ: CZ530112209
IČO: 13420186

Laboratorní výsledky

odběratel: **Symbiotechnika, s.r.o.**
datum: **25. duben 2021**

vzorek : **Pouzdřany**
S1 8,5m

| zrno | S1 8,5m |
|-------------|----------------|
| (mm) | (propad (%) |
| 4 | 100,00 |
| 2 | 99,55 |
| 1 | 98,58 |
| 0,500 | 96,98 |
| 0,250 | 96,24 |
| 0,125 | 95,75 |
| 0,063 | 93,41 |
| 0,050 | 91,83 |
| 0,0300 | 85,44 |
| 0,0230 | 80,85 |
| 0,0140 | 72,00 |
| 0,0084 | 62,32 |
| 0,0050 | 53,97 |
| 0,0032 | 48,77 |
| 0,0020 | 42,17 |

| | |
|---------------------------------------|-------|
| vlhkost vzorku % | 24,07 |
| mez tekutosti % | 59 |
| mez plasticity% | 32 |
| index plasticity | 27 |
| stupeň konzistence | 1,29 |
| zdán.měrná hmotnost kg/m ³ | 2647 |
| ČSN 73 1001 část.<60 | F |
| ČSN 73 1001 dle plasticity | MH |

Zařazení dle ČSN 73 1001
F7 MH hlína s vysokou plasticitou

Zařazení dle ČSN EN ISO 14688-2
CI

Metodika laboratorních zkoušek zemin

Stanovení vlhkosti zemin

ČSN CEN ISO/TS 17892-1

Stanovení zdánlivé hustoty pevných částic zemin

ČSN CEN ISO/TS 17892-3

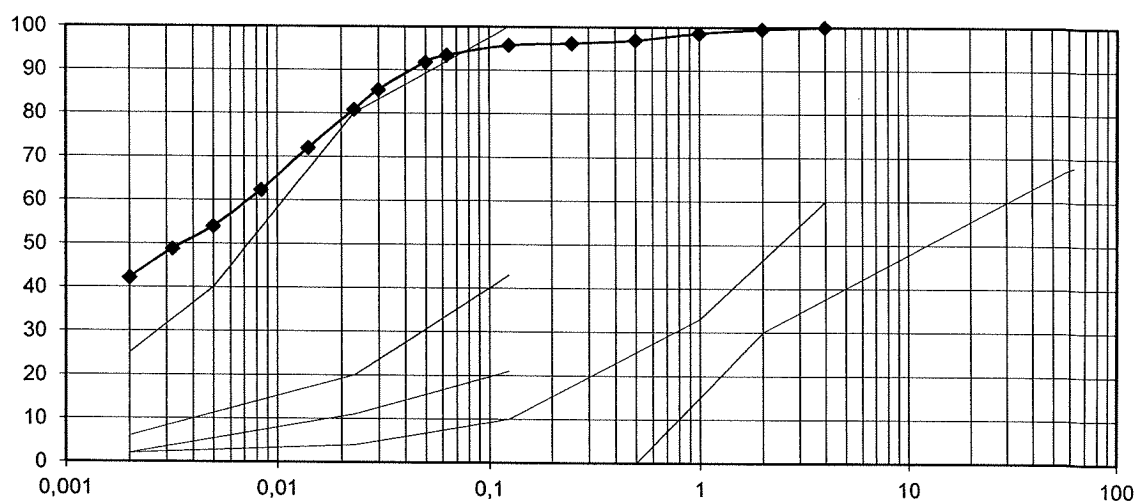
Stanovení zrnitosti zemin

ČSN CEN ISO/TS 17892-4

Stanovení konzistenčních mezí

ČSN CEN ISO/TS 17892-12

Granulometrie S1 8,5m



V Brně dne: **25. duben 2021**

laboratorní a technologické práce

+420602732068

Ing. Karel Zábrodský, Mgr. arch., Ph.D.: CZ530112209

Merhautova 144

613 00 Brno

IČO: 13420186

613 00 Brno
Merhautova 144
číslo 55/581986

Laboratorní výsledky

odběratel: **Symbiotechnika, s.r.o.**
 datum: **25. duben 2021**

vzorek : **Pouzdřany**
S1 10,5m

| zrno | S1 10,5m |
|-------------|-----------------|
| (mm) | (propad (%) |
| 4 | 100,00 |
| 2 | 99,58 |
| 1 | 98,42 |
| 0,500 | 97,32 |
| 0,250 | 96,84 |
| 0,125 | 96,39 |
| 0,063 | 94,81 |
| 0,050 | 94,00 |
| 0,0300 | 89,42 |
| 0,0230 | 86,68 |
| 0,0140 | 82,09 |
| 0,0084 | 76,05 |
| 0,0050 | 66,85 |
| 0,0032 | 59,22 |
| 0,0020 | 51,00 |

| | |
|---------------------------------------|-------|
| vlhkost vzorku % | 17,16 |
| mez tekutosti % | 56 |
| mez plasticity% | 25 |
| index plasticity | 31 |
| stupeň konzistence | 1,25 |
| zdán.měrná hmotnost kg/m ³ | 2679 |
| ČSN 73 1001 část.<60 | F |
| ČSN 73 1001 dle plasticity | CH |

Zařazení dle ČSN 73 1001
 F8 CH jil s vysokou plasticitou

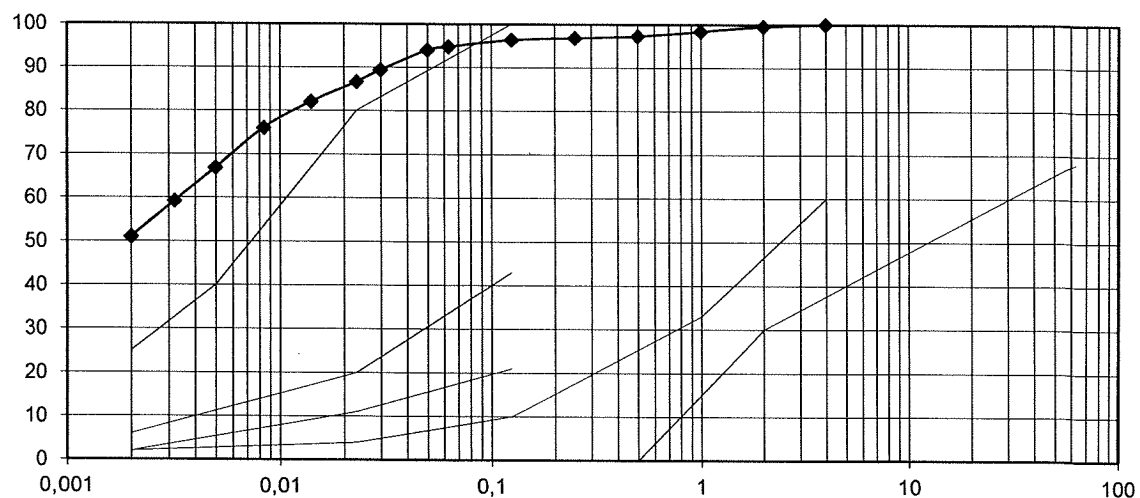
Zařazení dle ČSN EN ISO 14688-2
 CI

Metodika laboratorních zkoušek zemin

Stanovení vlhkosti zemin
 Stanovení zdánlivé hustoty pevných částic zemin
 Stanovení zrnitosti zemin
 Stanovení konzistenčních mezi

ČSN CEN ISO/TS 17892-1
 ČSN CEN ISO/TS 17892-3
 ČSN CEN ISO/TS 17892-4
 ČSN CEN ISO/TS 17892-12

Granulometrie S1 10,5m



V Brně dne: **25. duben 2021**

laboratorní a technologické práce
 +420602732068

Ing. Karel Zábrodský ·
 Merhautova 144
 613 00 Brno

Ing. Karel ZÁBRODŠKÝ
laboratorní a technologické práce
 Merhautova 144
 613 00 Brno
 ☎ 05/581986

DIČ: CZ530112209

IČO: 13420186

Laboratorní výsledky

odběratel: **Symbiotechnika, s.r.o.**
datum: **25. duben 2021**

vzorek : **Pouzdřany**
S2 6,5m

| zrno | S2 6,5m |
|-------------|----------------|
| (mm) | (propad (%) |
| 2 | 100,00 |
| 1 | 99,65 |
| 0,500 | 97,63 |
| 0,250 | 95,51 |
| 0,125 | 93,74 |
| 0,063 | 85,40 |
| 0,050 | 80,68 |
| 0,0300 | 72,91 |
| 0,0230 | 68,78 |
| 0,0140 | 61,50 |
| 0,0084 | 53,45 |
| 0,0050 | 45,30 |
| 0,0032 | 39,62 |
| 0,0020 | 32,96 |

| | |
|---------------------------------------|-------|
| vlhkost vzorku % | 26,02 |
| mez tekutosti % | 46 |
| mez plasticity% | 24 |
| index plasticity | 22 |
| stupeň konzistence | 0,91 |
| zdán.měrná hmotnost kg/m ³ | 2749 |
| ČSN 73 1001 část.<60 | F |
| ČSN 73 1001 dle plasticity | CI |

Zařazení dle ČSN 73 1001
F6 CI jíl se střední plasticitou

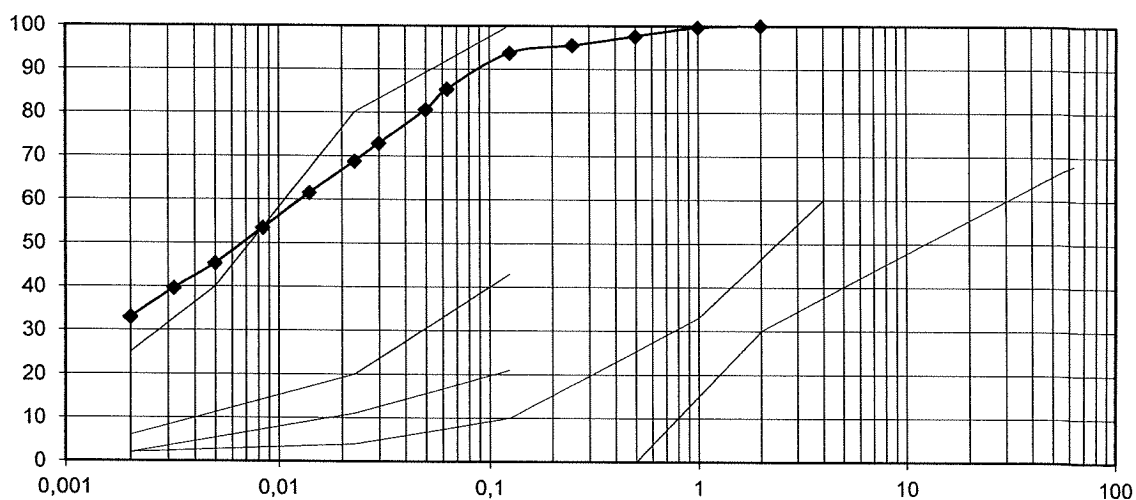
Zařazení dle ČSN EN ISO 14688-2
siCI

Metodika laboratorních zkoušek zemin

Stanovení vlhkosti zemin
Stanovení zdánlivé hustoty pevných částic zemin
Stanovení zrnitosti zemin
Stanovení konzistenčních mezí

ČSN CEN ISO/TS 17892-1
ČSN CEN ISO/TS 17892-3
ČSN CEN ISO/TS 17892-4
ČSN CEN ISO/TS 17892-12

Granulometrie S2 6,5m



V Brně dne: **25. duben 2021**

Ing. Karel ZÁBRODŠKÝ
laboratorní technologické práce
Merhautova 144

613 00 Brno
+420 591 986

laboratorní a technologické práce

+420602732068

Ing. Karel Zábrodský
Merhautova 144
613 00 Brno

DIČ: CZ530112209
IČO: 13420186

Laboratorní výsledky

odběratel: **Symbioteknika, s.r.o.**
datum: **25. duben 2021**

vzorek : **Pouzdřany**
S2 9,2m

| zrno | S2 9,2m |
|-------------|----------------|
| (mm) | (propad (%) |
| 4 | 100,00 |
| 2 | 99,71 |
| 1 | 99,06 |
| 0,500 | 96,56 |
| 0,250 | 93,57 |
| 0,125 | 91,00 |
| 0,063 | 87,36 |
| 0,050 | 85,61 |
| 0,0300 | 80,25 |
| 0,0230 | 75,67 |
| 0,0140 | 67,14 |
| 0,0084 | 59,81 |
| 0,0050 | 51,98 |
| 0,0032 | 45,27 |
| 0,0020 | 39,16 |

| | |
|---------------------------------------|-------|
| vlhkost vzorku % | 29,45 |
| mez tekutosti % | 51 |
| mez plasticity% | 34 |
| index plasticity | 17 |
| stupeň konzistence | 1,27 |
| zdán.měrná hmotnost kg/m ³ | 2623 |
| ČSN 73 1001 část.<60 | F |
| ČSN 73 1001 dle plasticity | MH |

Zařazení dle ČSN 73 1001
F7 MH hlína s vysokou plasticitou

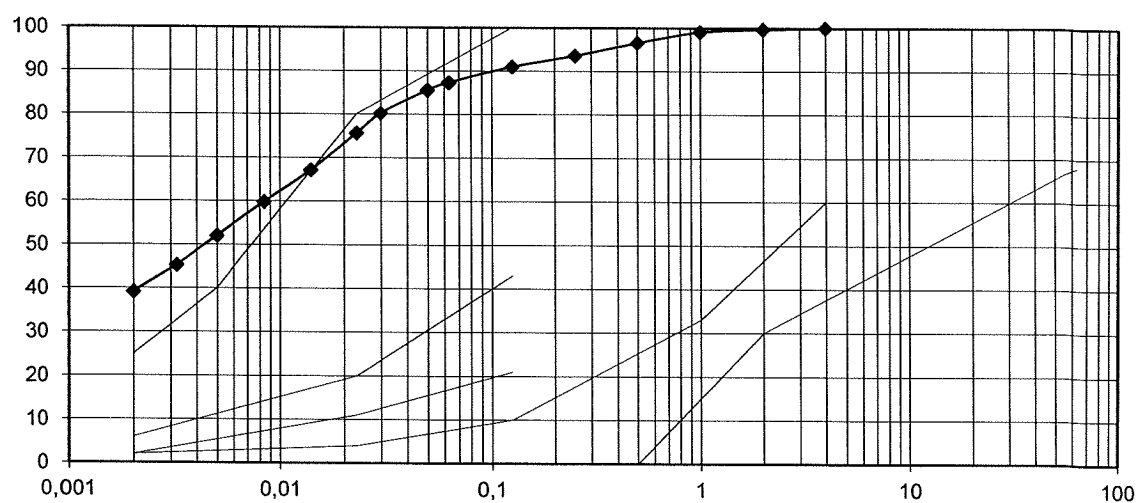
Zařazení dle ČSN EN ISO 14688-2
CI

Metodika laboratorních zkoušek zemin

Stanovení vlhkosti zemin
Stanovení zdánlivé hustoty pevných částic zemin
Stanovení zrnitosti zemin
Stanovení konzistenčních mezi

ČSN CEN ISO/TS 17892-1
ČSN CEN ISO/TS 17892-3
ČSN CEN ISO/TS 17892-4
ČSN CEN ISO/TS 17892-12

Granulometrie S2 9,2m



V Brně dne: **25. duben 2021**

Ing. Karel Zábrodský
laboratorní a technologické práce
Merhautova 144
613 00 Brno
+420602732068

laboratorní a technologické práce

+420602732068

Ing. Karel Zábrodský
Merhautova 144
613 00 Brno

613 00 Brno
+420602732068

DIČ: CZ530112209
IČO: 13420186

Laboratorní výsledky

odběratel: **Symbiotechnika, s.r.o.**
datum: **25. duben 2021**

vzorek : **Pouzdřany**
S2 10,4m

| zrno | S2 10,4m |
|-------------|-----------------|
| (mm) | (propad (%) |
| 4 | 100,00 |
| 2 | 99,80 |
| 1 | 98,96 |
| 0,500 | 96,68 |
| 0,250 | 94,07 |
| 0,125 | 91,50 |
| 0,063 | 88,01 |
| 0,050 | 86,32 |
| 0,0300 | 80,64 |
| 0,0230 | 77,42 |
| 0,0140 | 69,97 |
| 0,0084 | 62,84 |
| 0,0050 | 57,09 |
| 0,0032 | 51,86 |
| 0,0020 | 46,78 |

| | |
|---------------------------------------|-------|
| vlhkost vzorku % | 28,68 |
| mez tekutosti % | 56 |
| mez plasticity% | 35 |
| index plasticity | 21 |
| stupeň konzistence | 1,30 |
| zdán.měrná hmotnost kg/m ³ | 2568 |
| ČSN 73 1001 část.<60 | F |
| ČSN 73 1001 dle plasticity | MH |

Zařazení dle ČSN 73 1001
F7 MH hlina s vysokou plasticitou

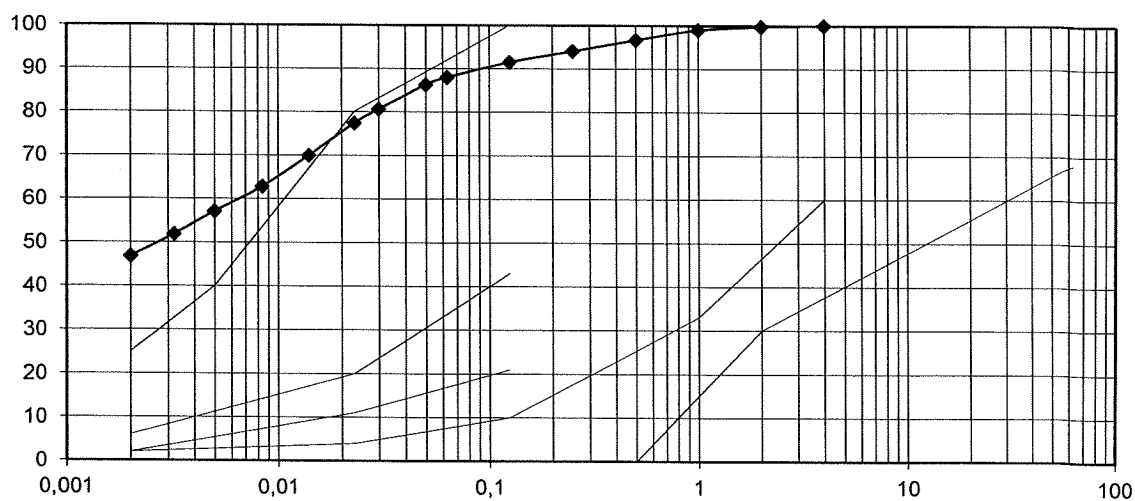
Zařazení dle ČSN EN ISO 14688-2
CI

Metodika laboratorních zkoušek zemin

Stanovení vlhkosti zemin
Stanovení zdánlivé hustoty pevných částic zemin
Stanovení zrnitosti zemin
Stanovení konzistenčních mezi

ČSN CEN ISO/TS 17892-1
ČSN CEN ISO/TS 17892-3
ČSN CEN ISO/TS 17892-4
ČSN CEN ISO/TS 17892-12

Granulometrie S2 10,4m



V Brně dne: **25. duben 2021**

Ing. Karel ZÁBRODŠKÝ
laboratorní a technologické práce
Merhautova 144

613 00 Brno
25.5.1986

laboratorní a technologické práce

tel.
+420602732068

Ing. Karel Zábrodský
Merhautova 144
613 00 Brno

DIČ: CZ530112209
IČO: 13420186

Laboratorní výsledky

odběratel: **Symbioteknika, s.r.o.**
datum: **25. duben 2021**

vzorek : **Pouzdřany**
S3 5,5m

| zrno | S3 5,5m |
|-------------|----------------|
| (mm) | (propad (%) |
| 2 | 100,00 |
| 1 | 99,32 |
| 0,500 | 97,75 |
| 0,250 | 96,30 |
| 0,125 | 95,11 |
| 0,063 | 94,40 |
| 0,050 | 93,98 |
| 0,0300 | 88,55 |
| 0,0230 | 86,10 |
| 0,0140 | 78,33 |
| 0,0084 | 69,48 |
| 0,0050 | 60,39 |
| 0,0032 | 51,51 |
| 0,0020 | 42,25 |

| | |
|---------------------------------------|-------|
| vlhkost vzorku % | 21,25 |
| mez tekutosti % | 59 |
| mez plasticity% | 25 |
| index plasticity | 34 |
| stupeň konzistence | 1,11 |
| zdán.měrná hmotnost kg/m ³ | 2775 |
| ČSN 73 1001 část.<60 | F |
| ČSN 73 1001 dle plasticity | CH |

Zařazení dle ČSN 73 1001
F8 CH jíl s vysokou plasticitou

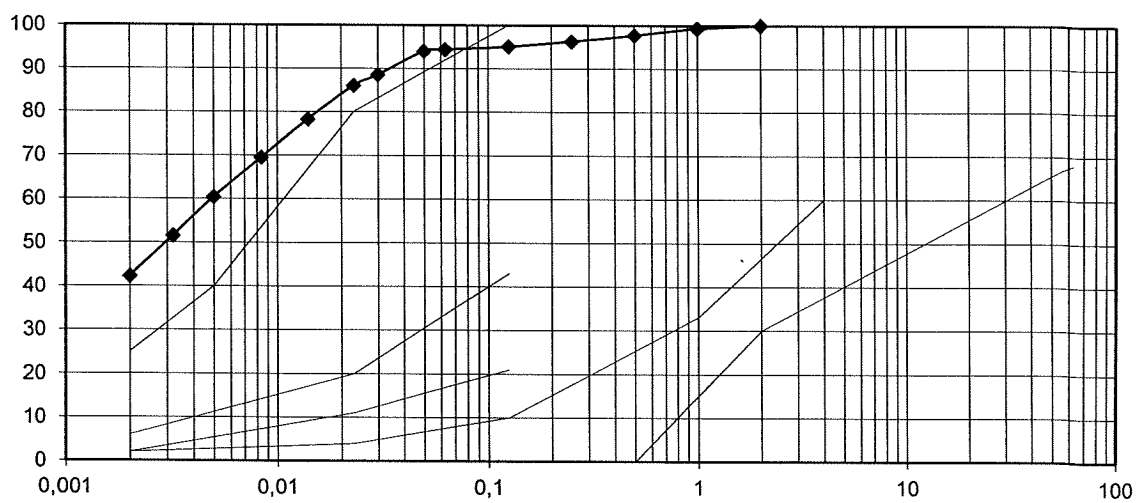
Zařazení dle ČSN EN ISO 14688-2
CI

Metodika laboratorních zkoušek zemin

Stanovení vlhkosti zemin
Stanovení zdánlivé hustoty pevných částic zemin
Stanovení zrnitosti zemin
Stanovení konzistenčních mezi

ČSN CEN ISO/TS 17892-1
ČSN CEN ISO/TS 17892-3
ČSN CEN ISO/TS 17892-4
ČSN CEN ISO/TS 17892-12

Granulometrie S3 5,5m



V Brně dne: **25. duben 2021**

Ing. Karel ZÁBRODŠKÝ
laboratorní a technologické práce
Merhautova 144
613 00 Brno

613 00 Brno
05/581986

laboratorní a technologické práce

telefon
+420602732068

Ing. Karel Zábrodský
Merhautova 144
613 00 Brno

DIČ: CZ530112209

IČO: 13420186

Laboratorní výsledky

odběratel: **Symbiotechnika, s.r.o.**
datum: **25. duben 2021**

vzorek : **Pouzdřany**
S3 8,5m

| zrno | S3 8,5m |
|-------------|----------------|
| (mm) | (propad (%) |
| 2 | 100,00 |
| 1 | 98,97 |
| 0,500 | 97,46 |
| 0,250 | 96,55 |
| 0,125 | 96,01 |
| 0,063 | 95,43 |
| 0,050 | 94,97 |
| 0,0300 | 90,48 |
| 0,0230 | 87,78 |
| 0,0140 | 81,78 |
| 0,0084 | 74,32 |
| 0,0050 | 64,05 |
| 0,0032 | 55,85 |
| 0,0020 | 49,03 |

| | |
|---------------------------------------|-------|
| vlhkost vzorku % | 21,21 |
| mez tekutosti % | 59 |
| mez plasticity% | 27 |
| index plasticity | 32 |
| stupeň konzistence | 1,18 |
| zdán.měrná hmotnost kg/m ³ | 2761 |
| ČSN 73 1001 část.<60 | F |
| ČSN 73 1001 dle plasticity | CH |

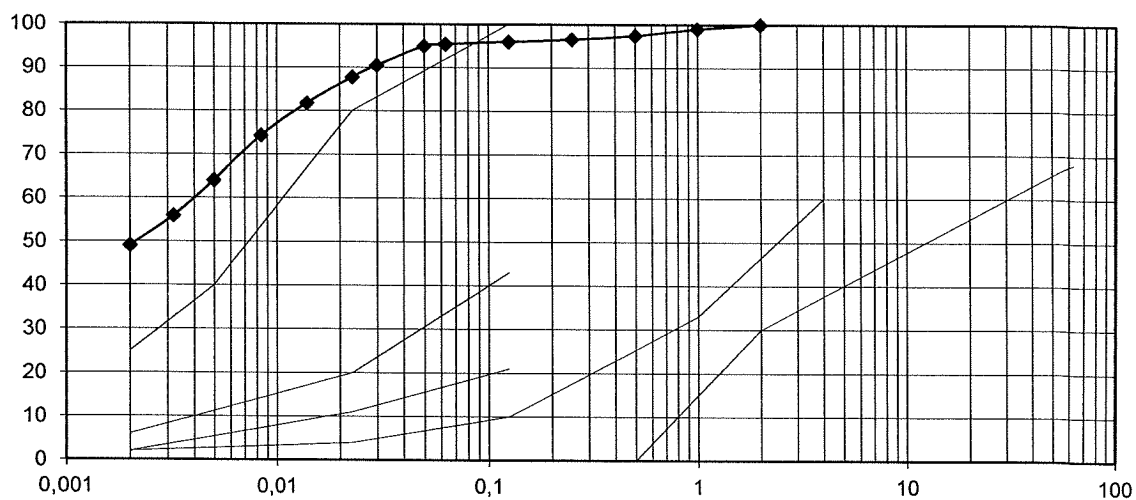
Zařazení dle ČSN 73 1001
F8 CH jíl s vysokou plasticitou

Zařazení dle ČSN EN ISO 14688-2
CI

Metodika laboratorních zkoušek zemin

- | | |
|---|-------------------------|
| Stanovení vlhkosti zemin | ČSN CEN ISO/TS 17892-1 |
| Stanovení zdánlivé hustoty pevných částic zemin | ČSN CEN ISO/TS 17892-3 |
| Stanovení zrnitosti zemin | ČSN CEN ISO/TS 17892-4 |
| Stanovení konzistenčních mezí | ČSN CEN ISO/TS 17892-12 |

Granulometrie S3 8,5m



V Brně dne: **25. duben 2021**

laboratorní a technologické práce

+420602732068

Ing. Karel Zábrodský ·
Merhautova 144
613 00 Brno

Ing. Karel ZÁBRODŠKÝ
laboratorní a technologické práce
Merhautova 144
613 00 Brno
+420 602 732 068
05/521936

DIČ: CZ530112209
IČO: 13420186